

11A_Ant0_5260



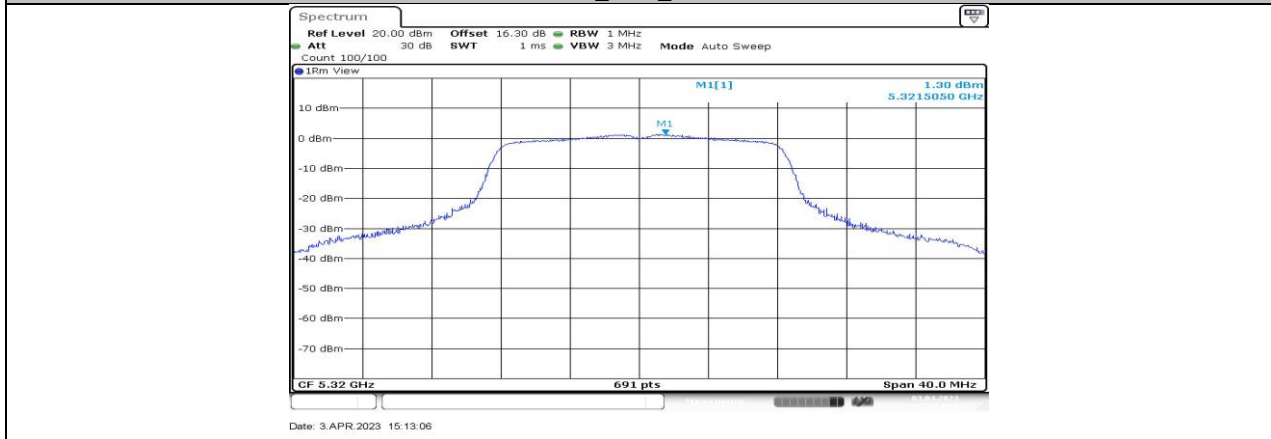
11A_Ant1_5260



11A_Ant0_5280



11A_Ant1_5280



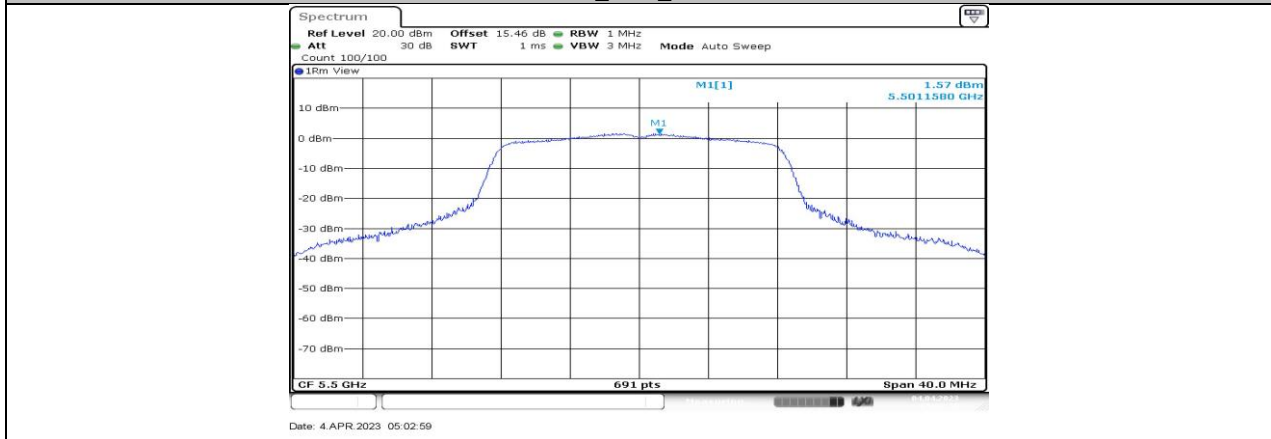
11A_Ant0_5320



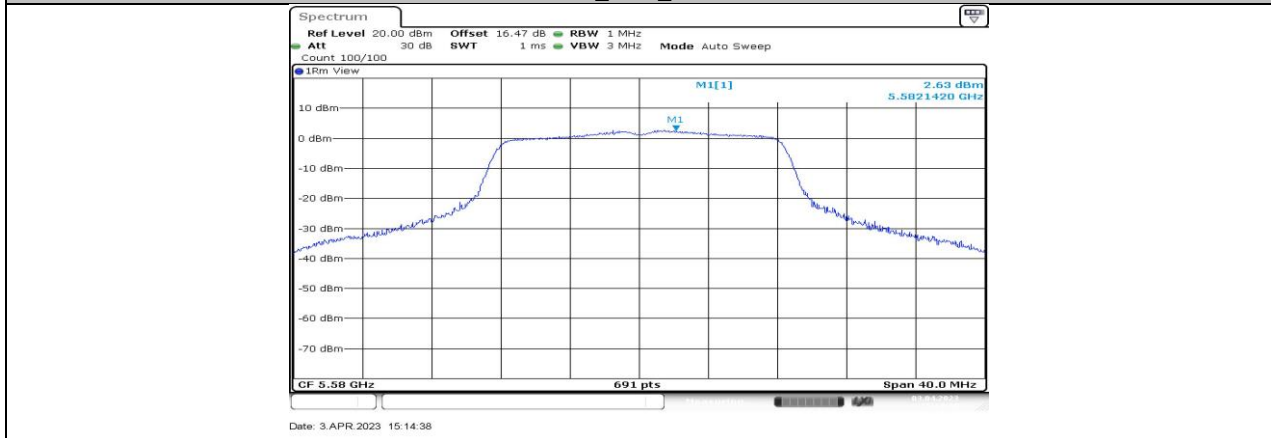
11A_Ant1_5320



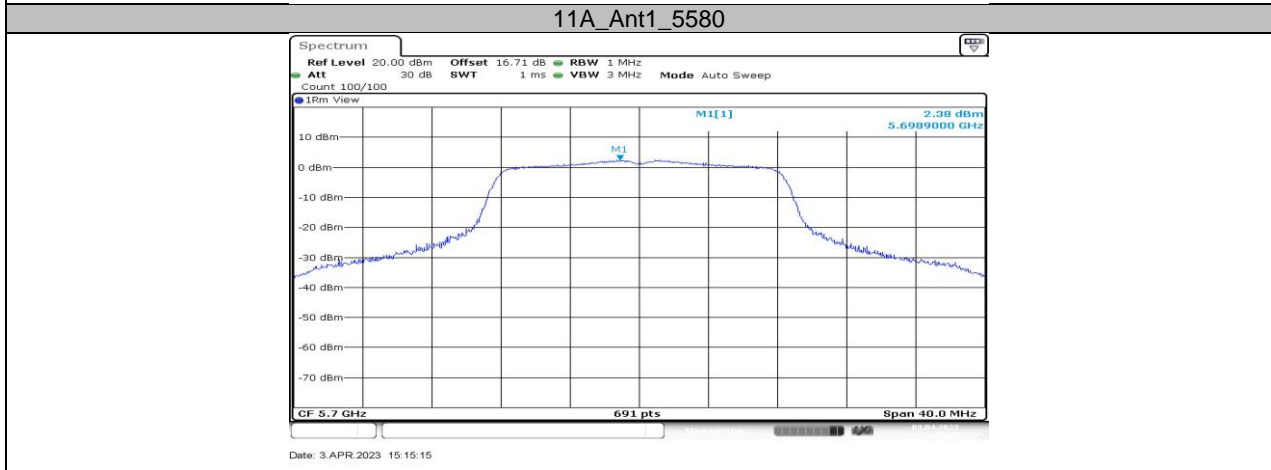
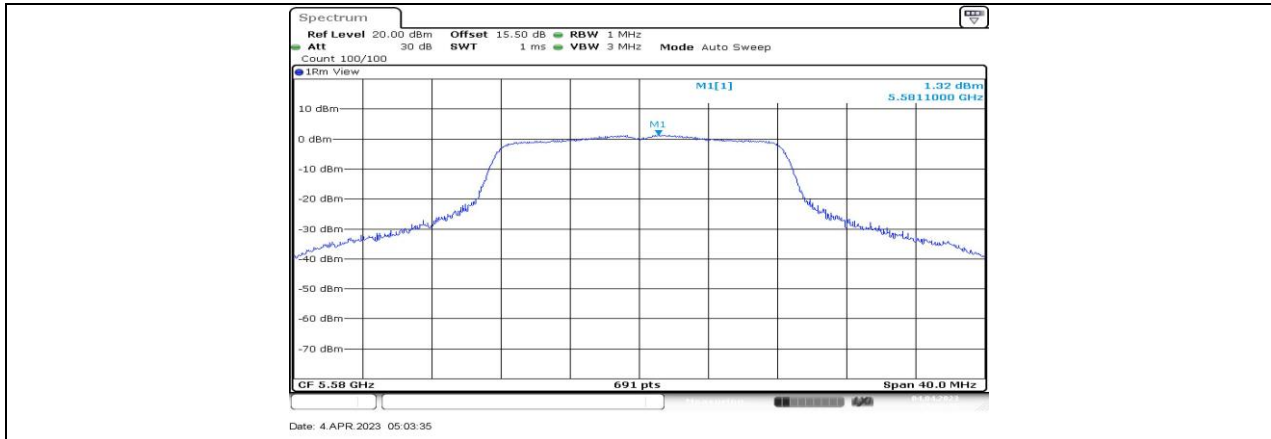
11A_Ant0_5500



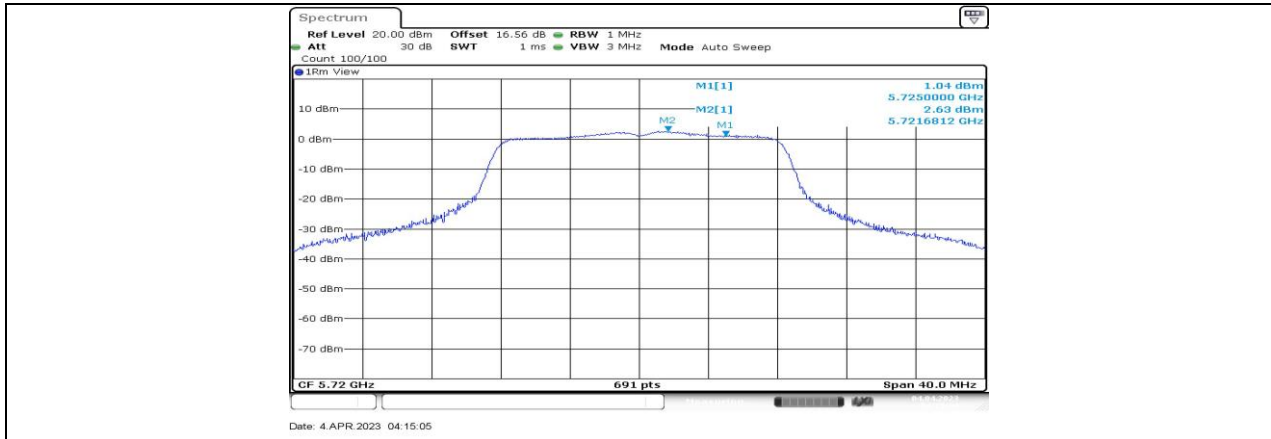
11A_Ant1_5500



11A_Ant0_5580



11A_Ant1_5700





11A_Ant1_5720_UNII-3



11A_Ant0_5745



11A_Ant1_5745



11A_Ant0_5785



11A_Ant1_5785



11A_Ant0_5825



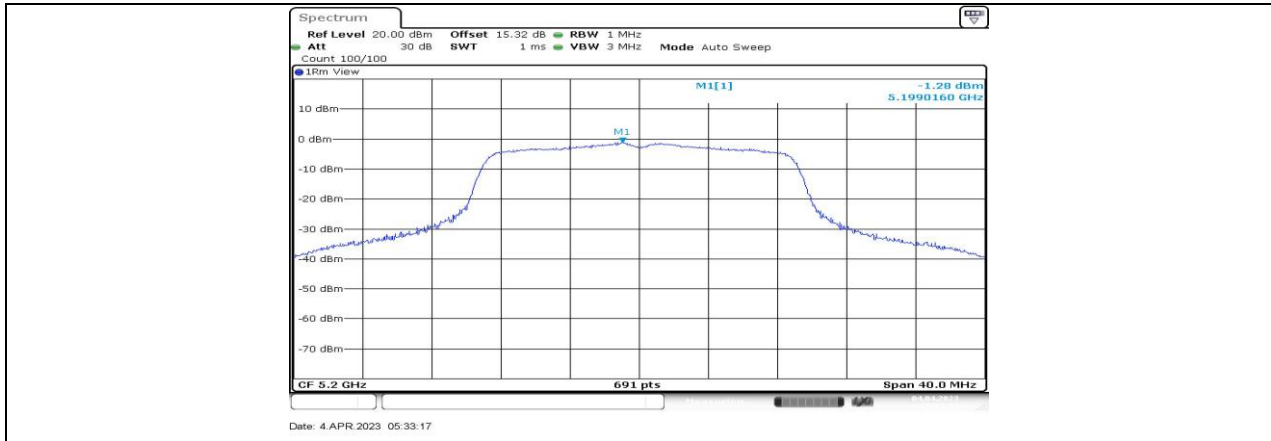
11A_Ant1_5825



11N20MIMO_Ant0_5180



11N20MIMO_Ant1_5180



11N20MIMO_Ant0_5200



11N20MIMO_Ant1_5200



11N20MIMO_Ant0_5240



11N20MIMO_Ant1_5240



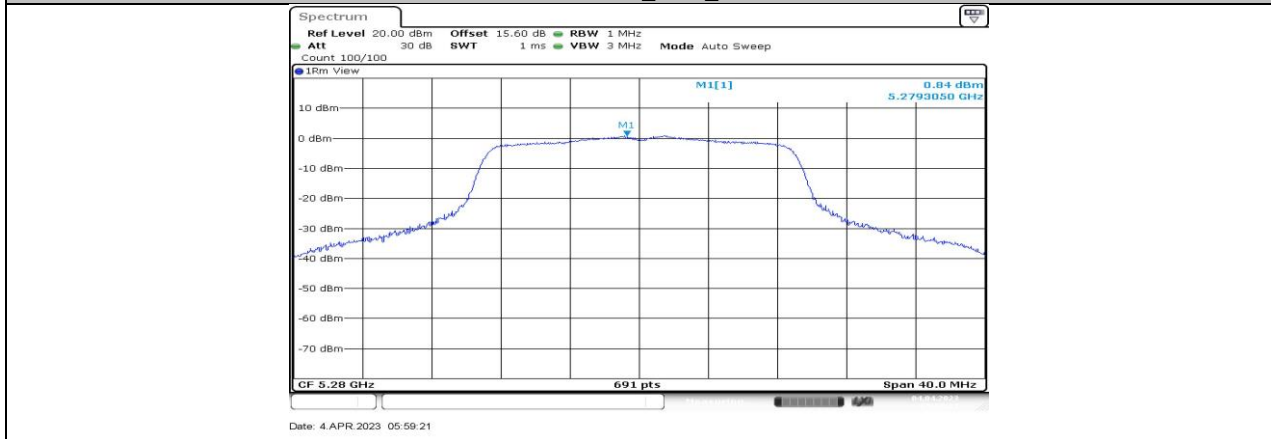
11N20MIMO_Ant0_5260



11N20MIMO_Ant1_5260



11N20MIMO_Ant0_5280



11N20MIMO_Ant1_5280



11N20MIMO_Ant0_5320



11N20MIMO_Ant1_5320



11N20MIMO_Ant0_5500



11N20MIMO_Ant1_5500



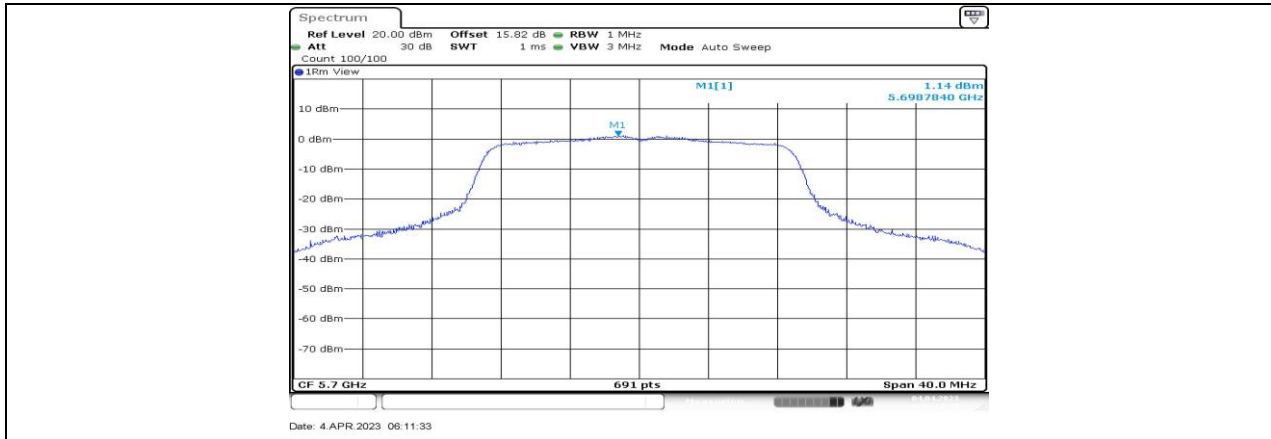
11N20MIMO_Ant0_5580



11N20MIMO_Ant1_5580



11N20MIMO_Ant0_5700



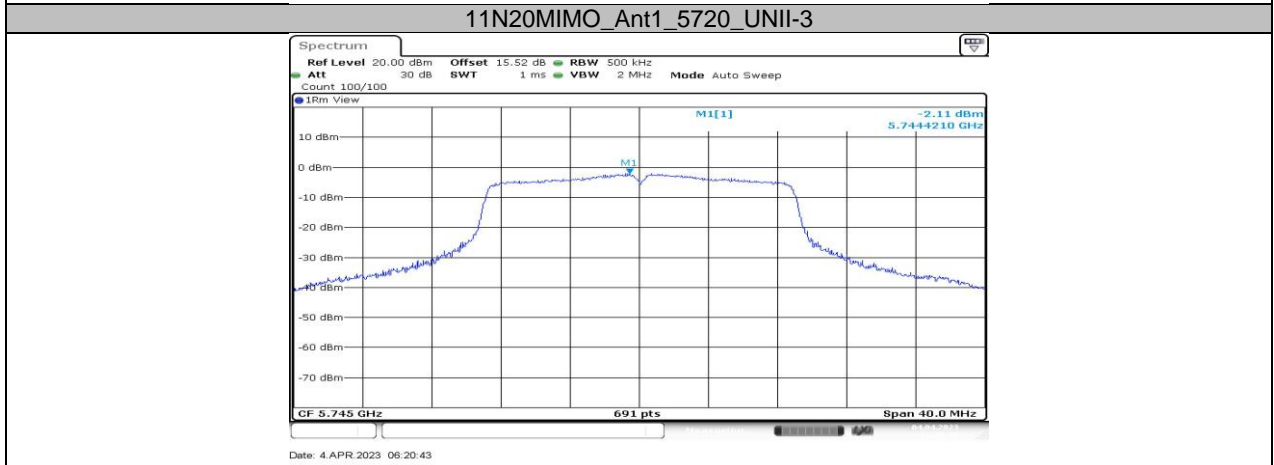
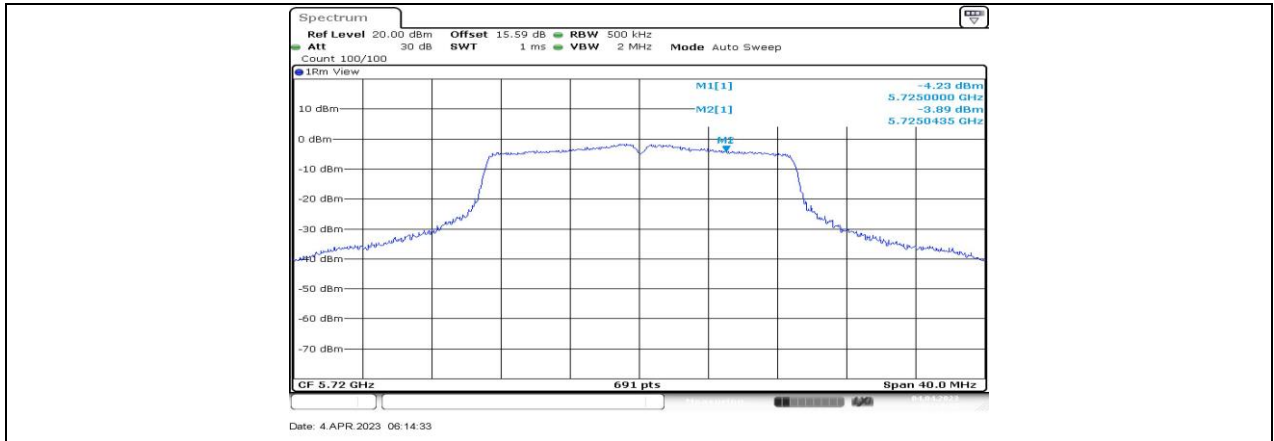
11N20MIMO_Ant1_5700



11N20MIMO_Ant0_5720_UNII-2C



11N20MIMO_Ant1_5720_UNII-2C

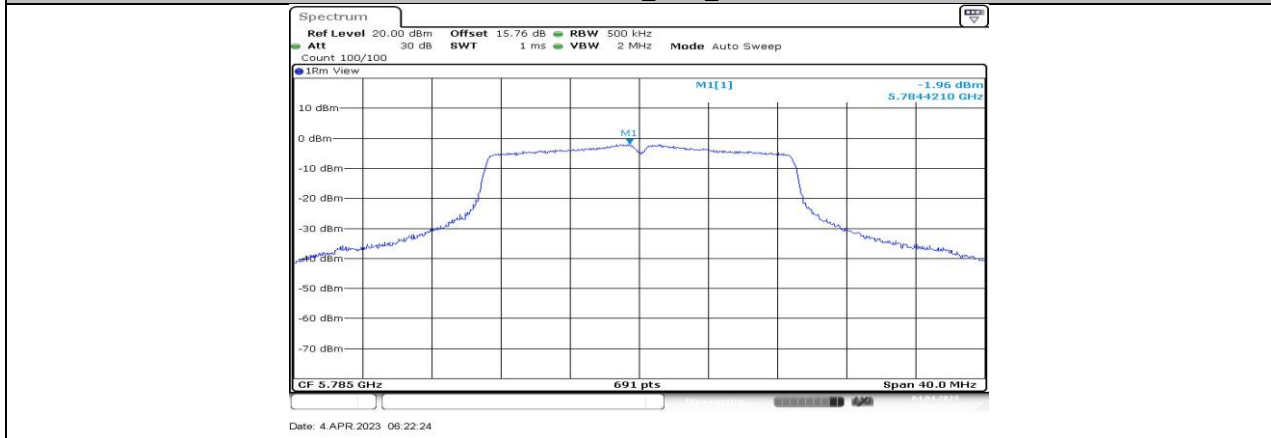




11N20MIMO_Ant1_5745



11N20MIMO_Ant0_5785



11N20MIMO_Ant1_5785



11N20MIMO_Ant0_5825



11N20MIMO_Ant1_5825



11N40MIMO_Ant0_5190



11N40MIMO_Ant1_5190



11N40MIMO_Ant0_5230



11N40MIMO_Ant1_5230



11N40MIMO_Ant0_5270



11N40MIMO_Ant1_5270



11N40MIMO_Ant0_5310



11N40MIMO_Ant1_5310



11N40MIMO_Ant0_5510



11N40MIMO_Ant1_5510



11N40MIMO_Ant0_5550



11N40MIMO_Ant1_5550



11N40MIMO_Ant0_5670



11N40MIMO_Ant1_5670



11N40MIMO_Ant0_5710_UNII-2C



11N40MIMO_Ant1_5710_UNII-2C



11N40MIMO_Ant0_5710_UNII-3



11N40MIMO_Ant1_5710_UNII-3



11N40MIMO_Ant0_5755



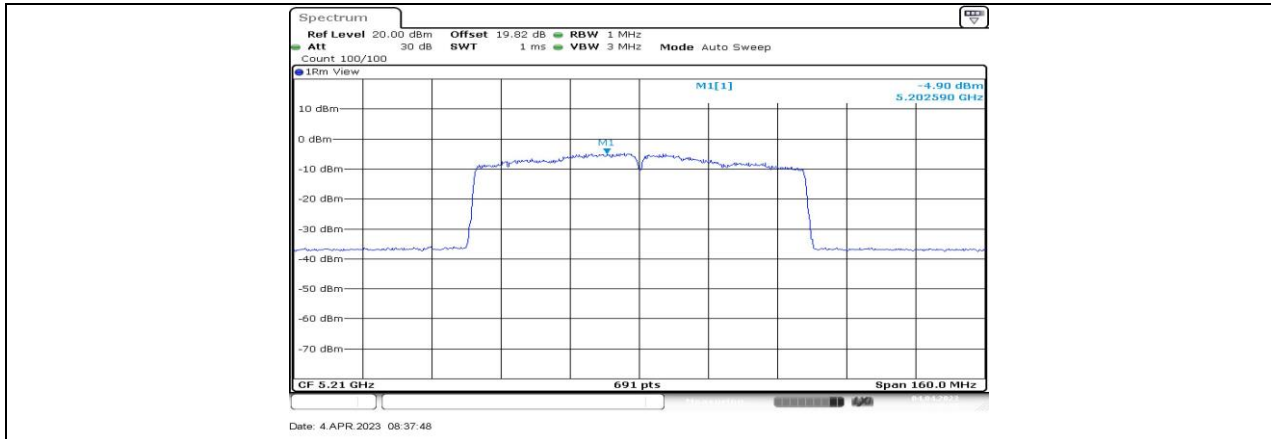
11N40MIMO_Ant1_5755



11N40MIMO_Ant0_5795



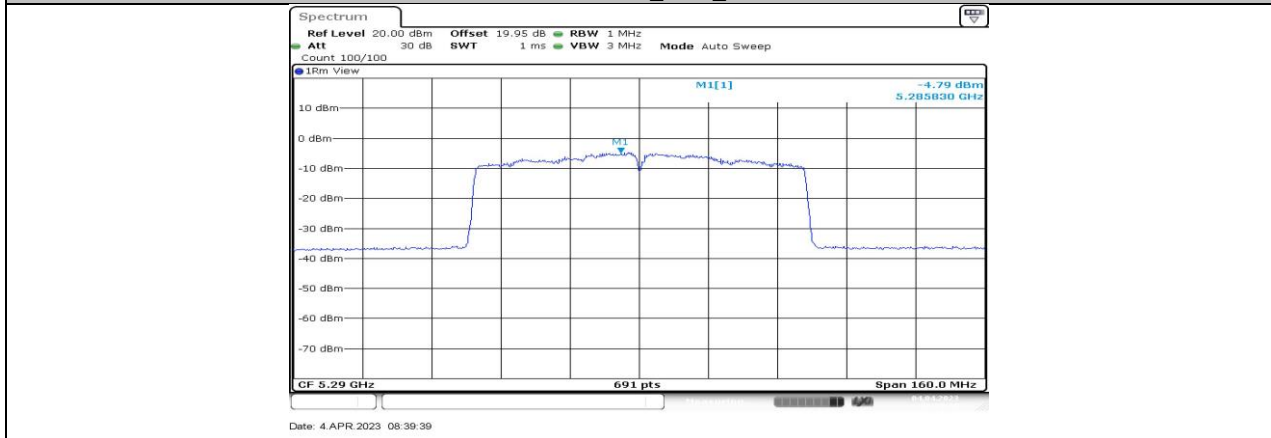
11N40MIMO_Ant1_5795



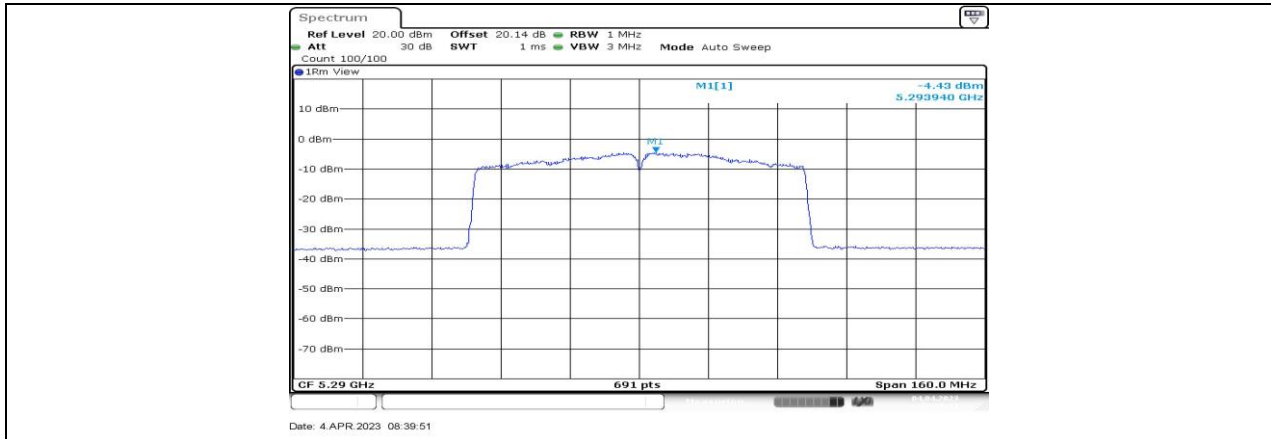
11AC80MIMO_Ant0_5210



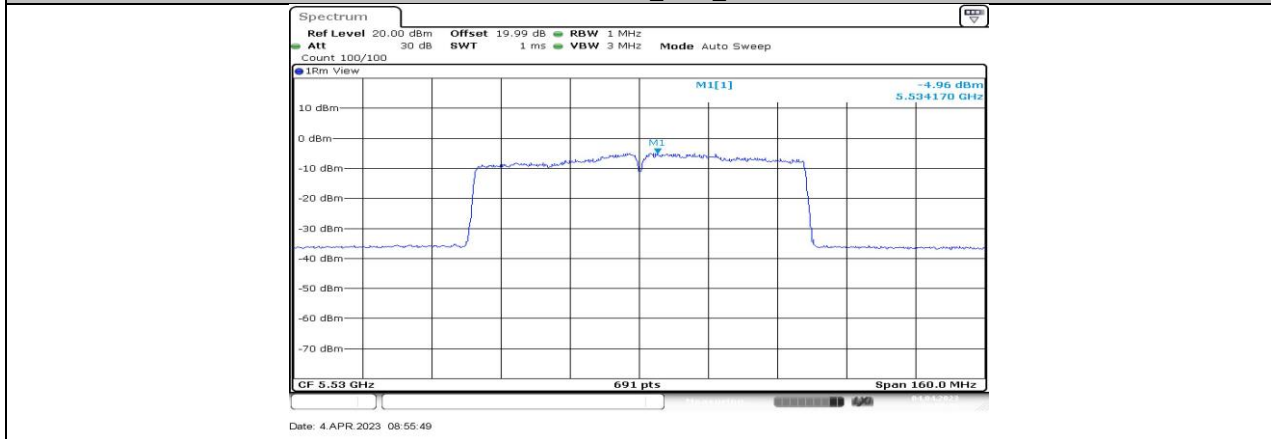
11AC80MIMO_Ant1_5210



11AC80MIMO_Ant0_5290



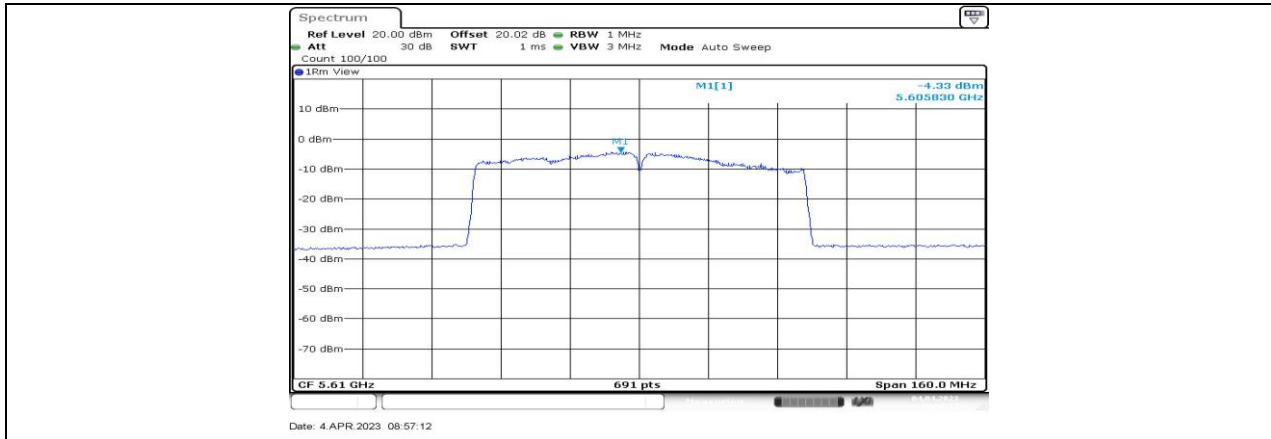
11AC80MIMO_Ant1_5290



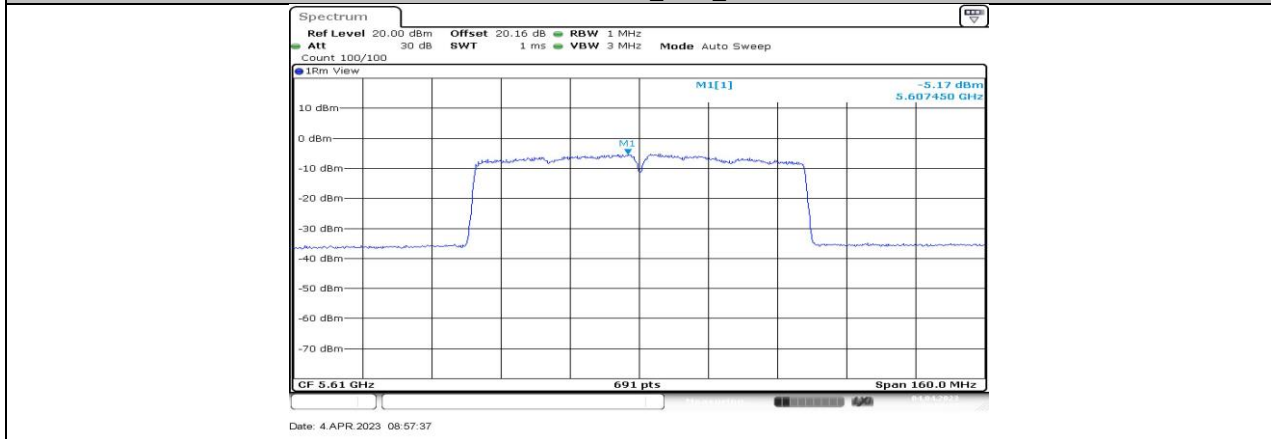
11AC80MIMO_Ant0_5530



11AC80MIMO_Ant1_5530



11AC80MIMO_Ant0_5610



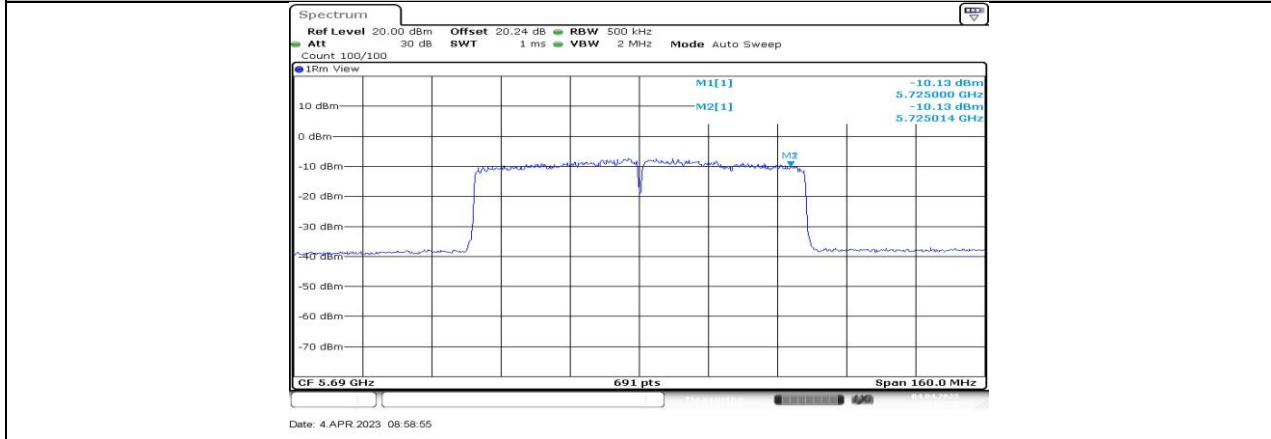
11AC80MIMO_Ant1_5610



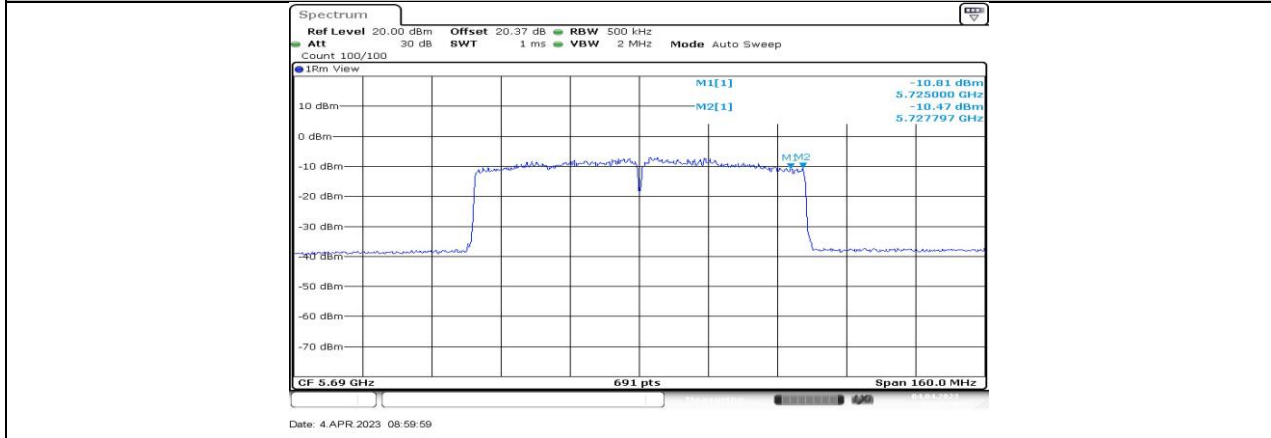
11AC80MIMO_Ant0_5690_UNII-2C



11AC80MIMO_Ant1_5690_UNII-2C



11AC80MIMO_Ant0_5690_UNII-3



11AC80MIMO_Ant1_5690_UNII-3



11AC80MIMO_Ant0_5775



11AC80MIMO_Ant1_5775



11AX20MIMO_Ant0_5180



11AX20MIMO_Ant1_5180



11AX20MIMO_Ant0_5200



11AX20MIMO_Ant1_5200



11AX20MIMO_Ant0_5240



11AX20MIMO_Ant1_5240



11AX20MIMO_Ant0_5260



11AX20MIMO_Ant1_5260



11AX20MIMO_Ant0_5280



11AX20MIMO_Ant1_5280



11AX20MIMO_Ant0_5320



11AX20MIMO_Ant1_5320



11AX20MIMO_Ant0_5500



11AX20MIMO_Ant1_5500



11AX20MIMO_Ant0_5580



11AX20MIMO_Ant1_5580



11AX20MIMO_Ant0_5700



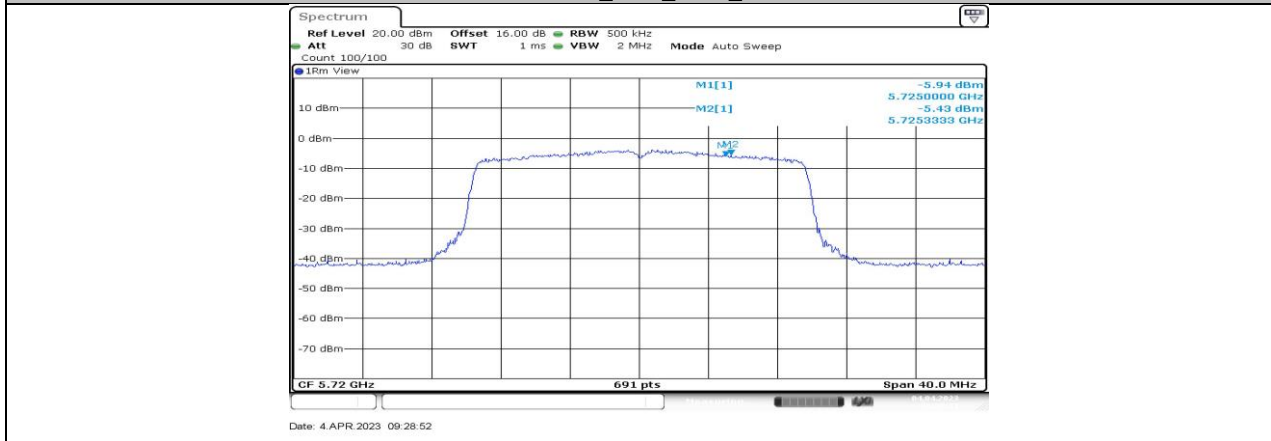
11AX20MIMO_Ant1_5700



11AX20MIMO_Ant0_5720_UNII-2C



11AX20MIMO_Ant1_5720_UNII-2C



11AX20MIMO_Ant0_5720_UNII-3



11AX20MIMO_Ant1_5720_UNII-3



11AX20MIMO_Ant0_5745



11AX20MIMO_Ant1_5745



11AX20MIMO_Ant0_5785



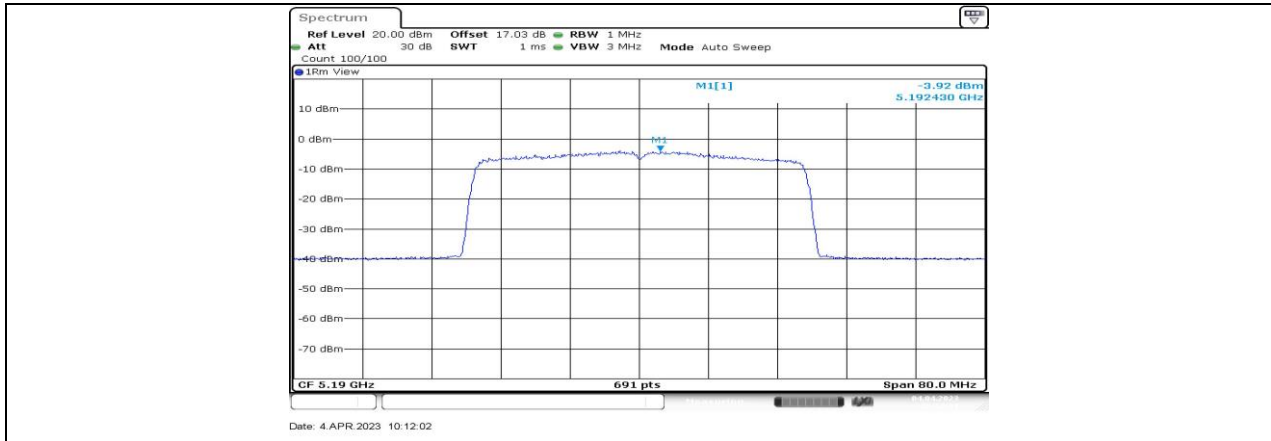
11AX20MIMO_Ant1_5785



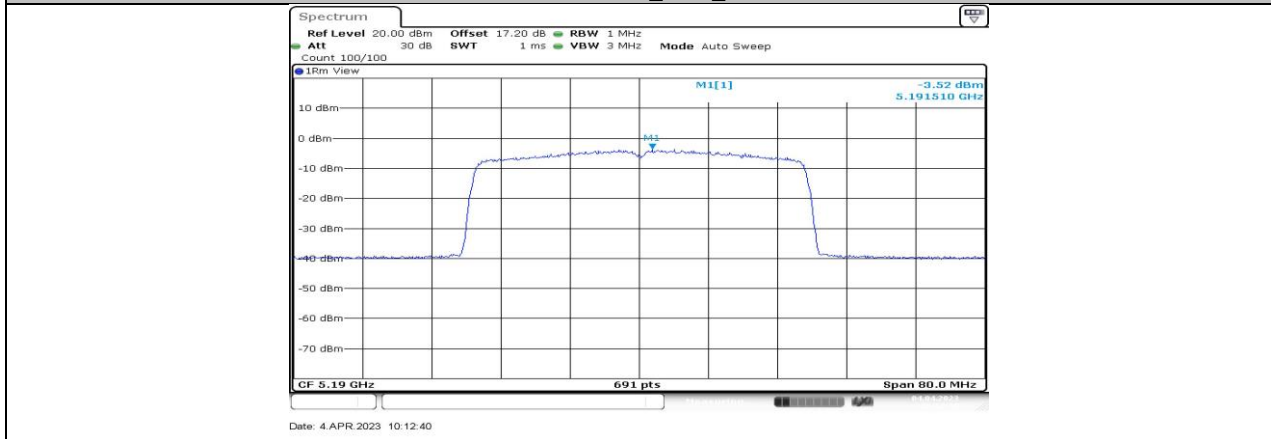
11AX20MIMO_Ant0_5825



11AX20MIMO_Ant1_5825



11AX40MIMO_Ant0_5190



11AX40MIMO_Ant1_5190



11AX40MIMO_Ant0_5230